

FIG. 1(a)

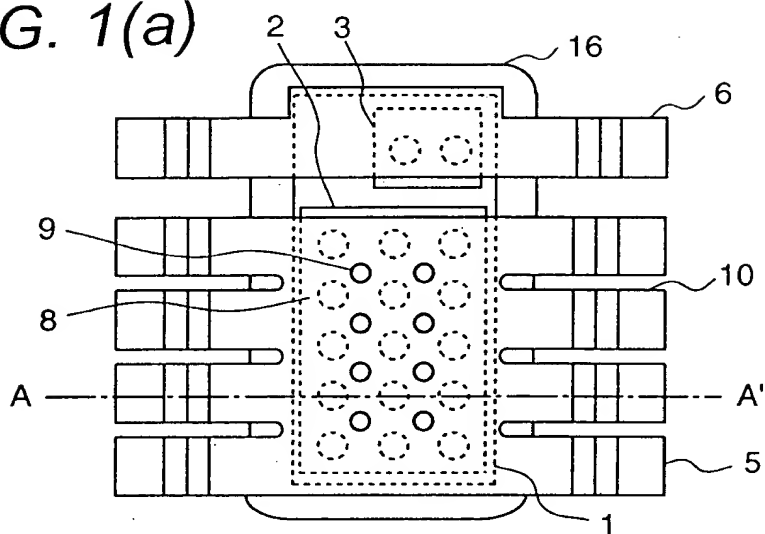


FIG. 1(b)

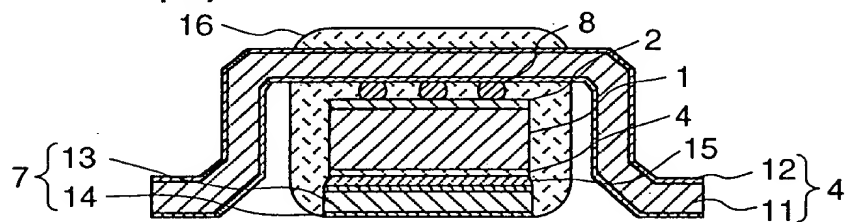
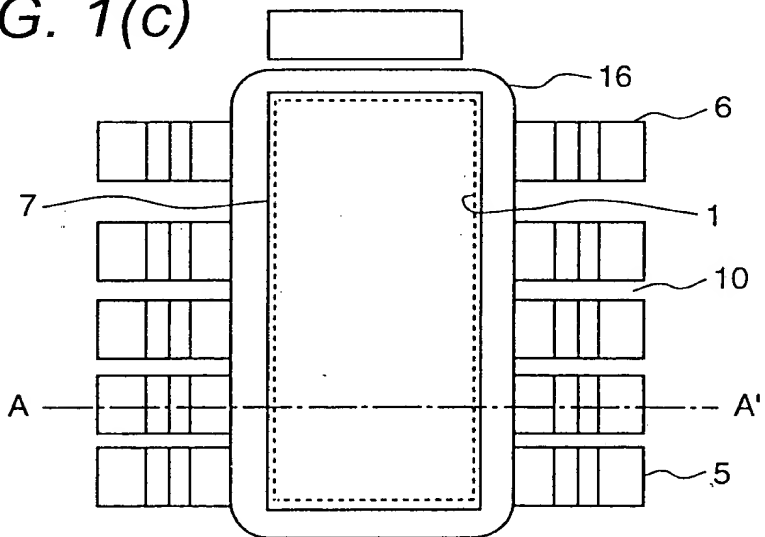


FIG. 1(c)



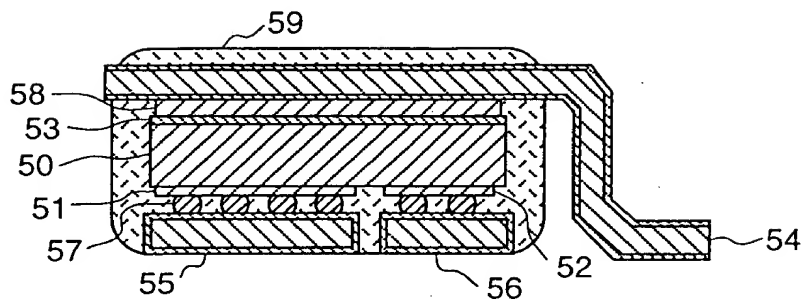


FIG. 4(a)

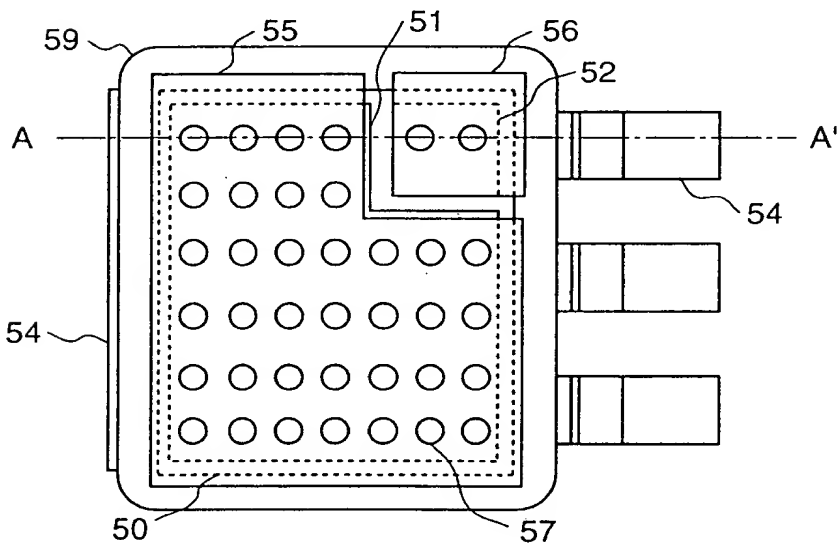
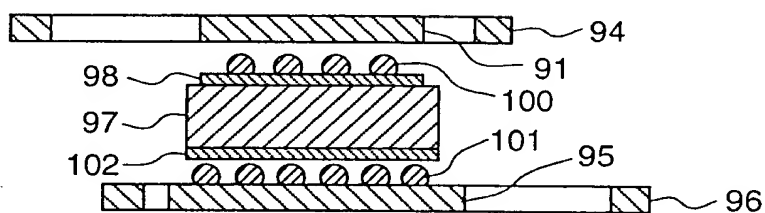
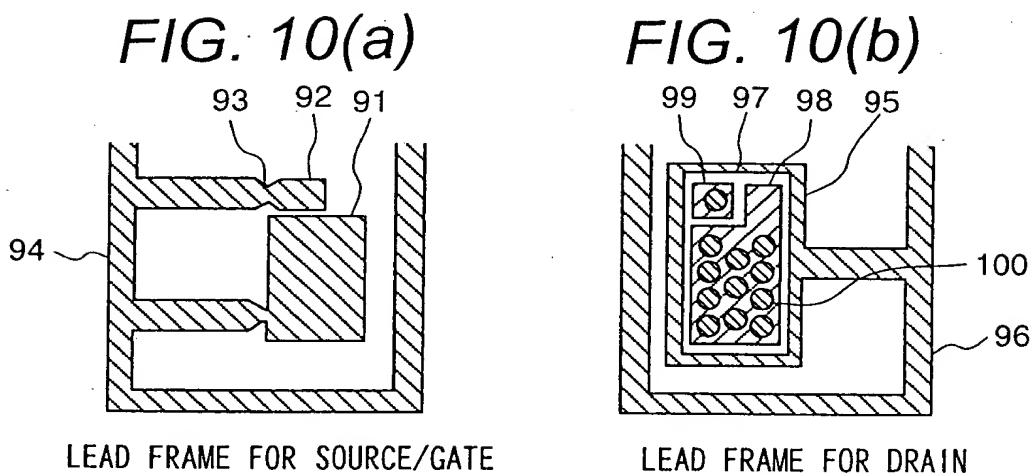


FIG. 4(b)



LAMINATED CROSS SECTIONAL
STRUCTURE AT BONDING

FIG. 10(c)

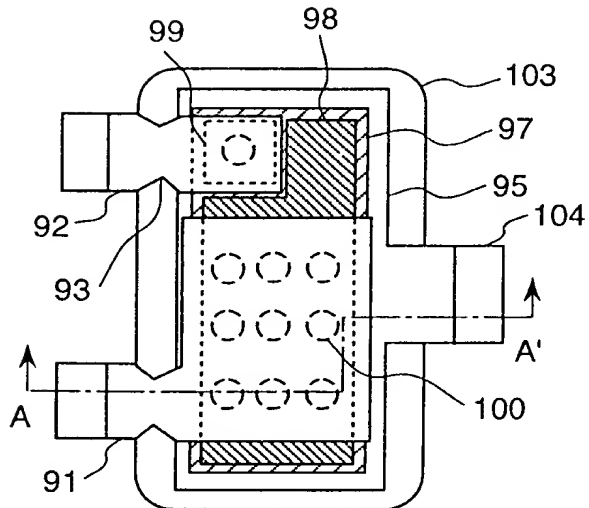


FIG. 11(a)

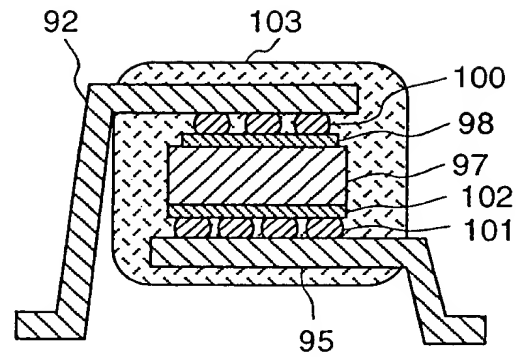


FIG. 11(b)

FIG. 12(a)

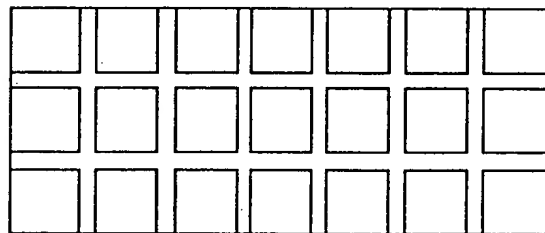
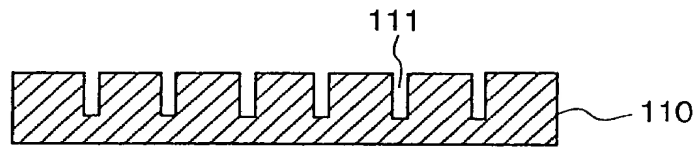


FIG. 12(b)



FIG. 13



FIG. 14(a)

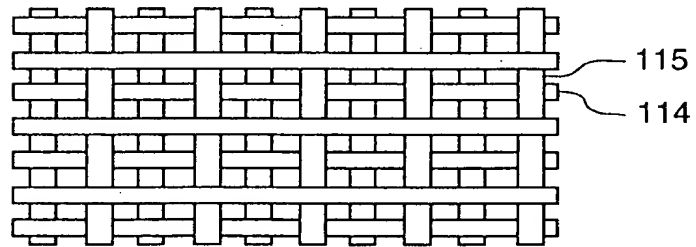


FIG. 14(b)



FIG. 21(a)

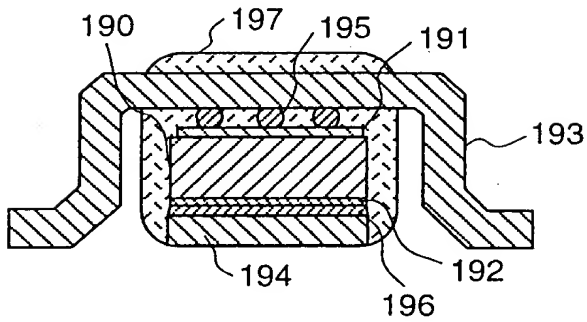


FIG. 21(b)

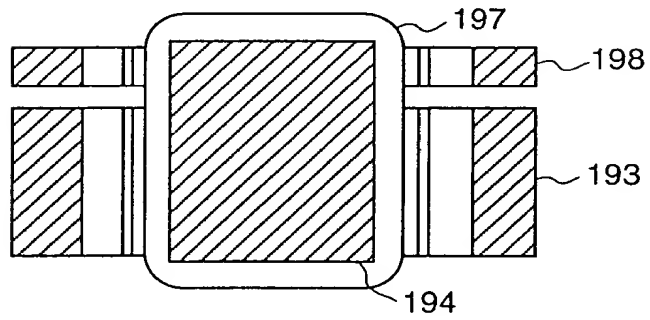


FIG. 22(a)

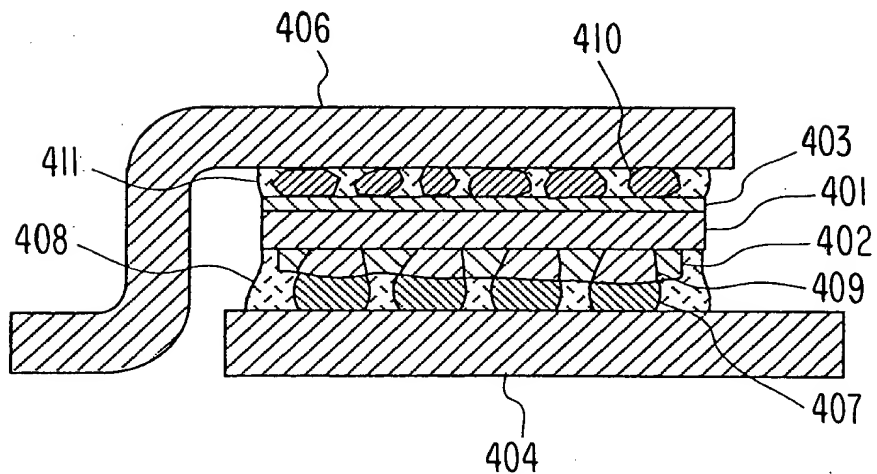


FIG. 22(b)

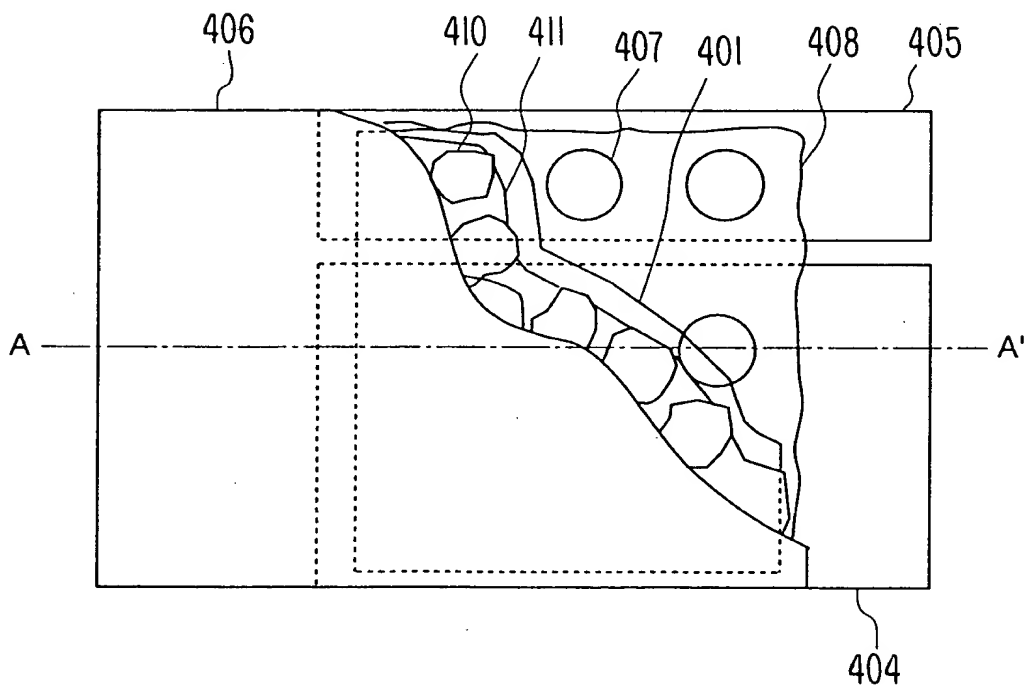




FIG. 23

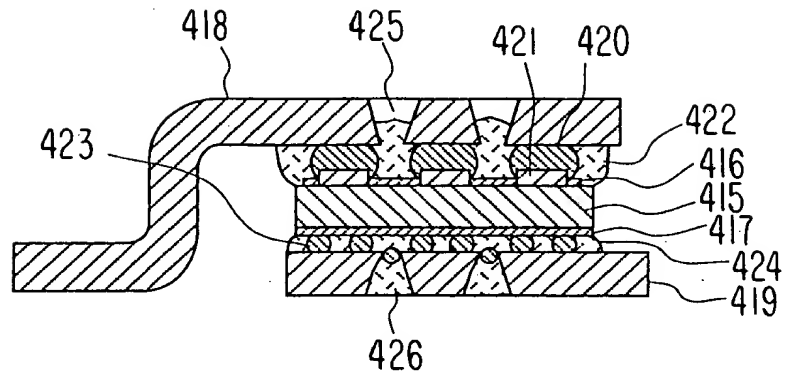
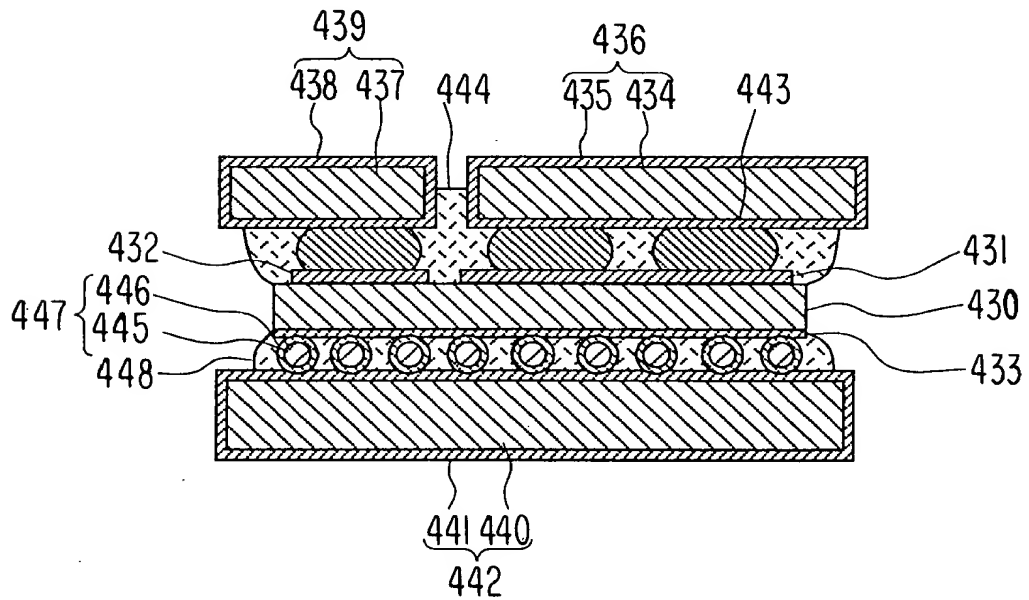


FIG. 24



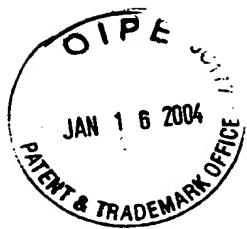


FIG.25

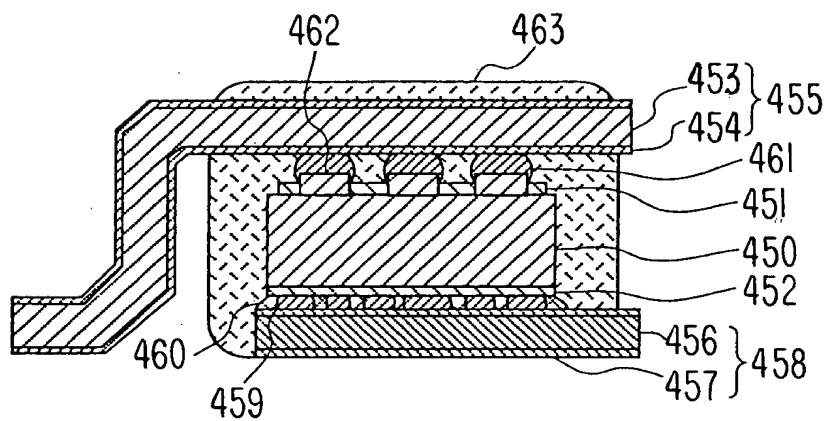


FIG.26

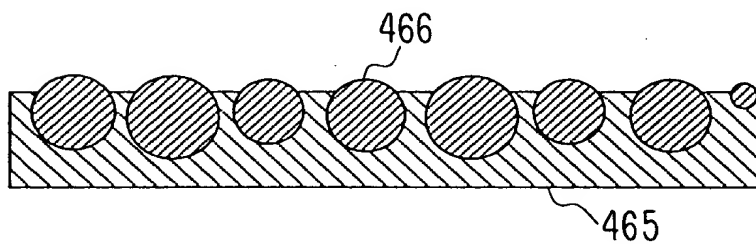


FIG.27

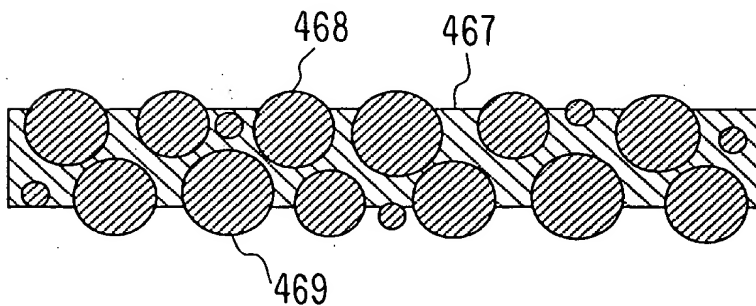




FIG. 28(a)

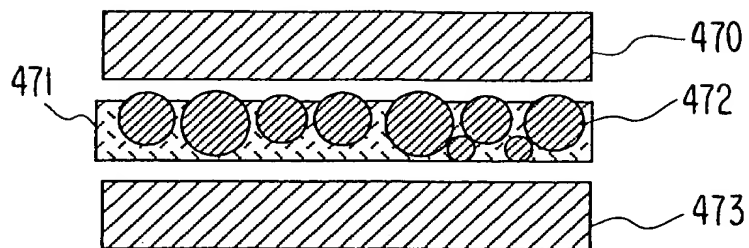


FIG. 28(b)

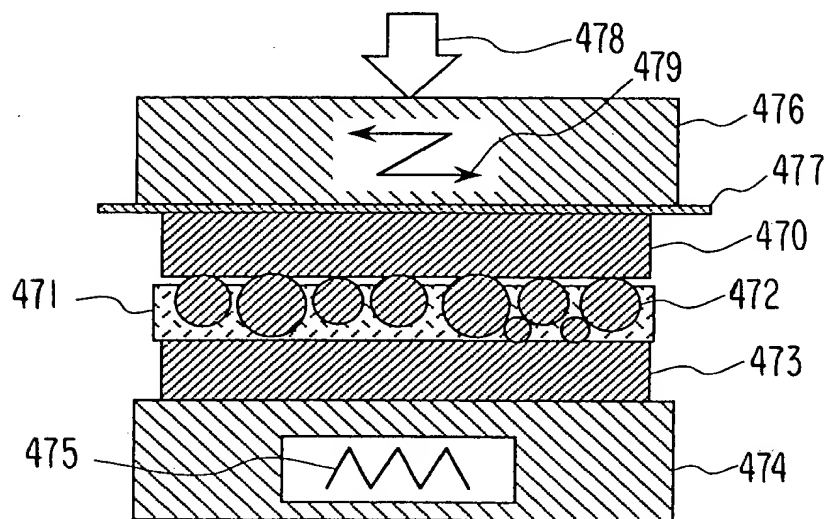


FIG. 28(c)

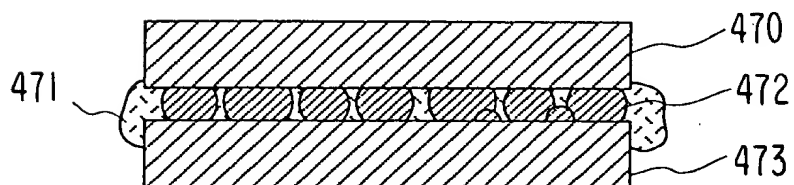


FIG. 29(a)

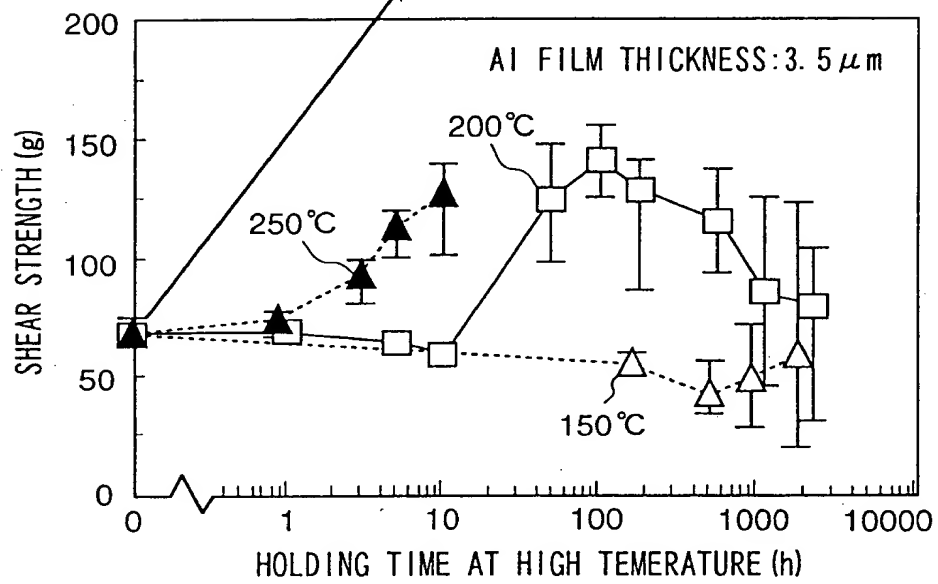
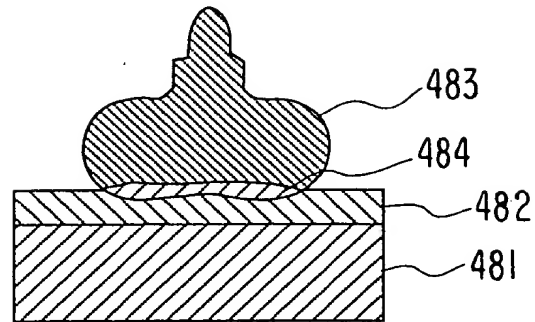


FIG. 29(b)

FIG. 30(a)

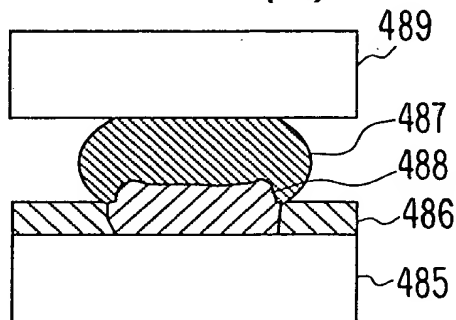


FIG. 30(b)

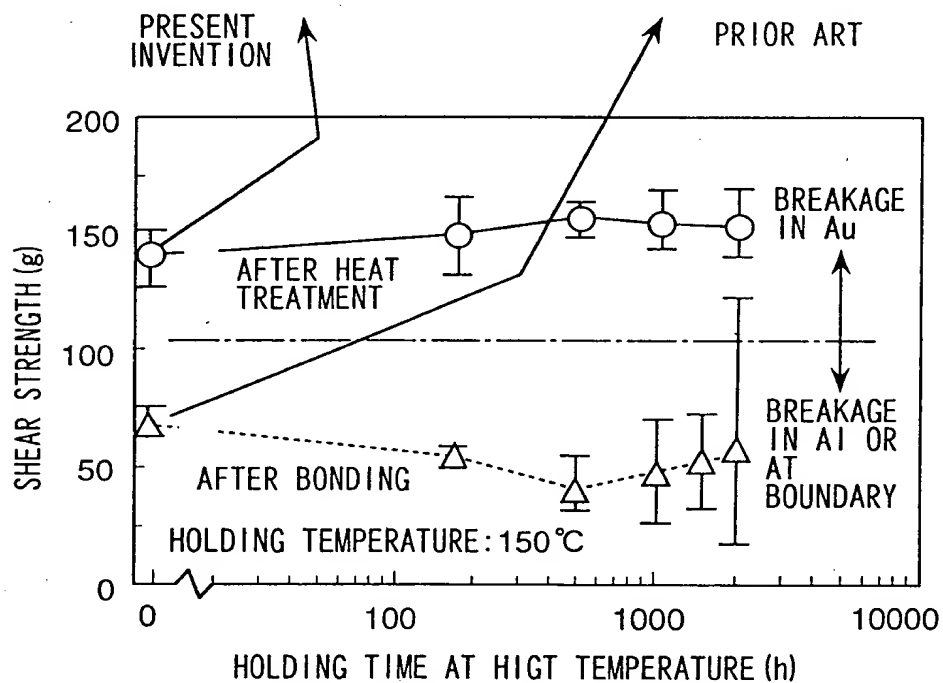
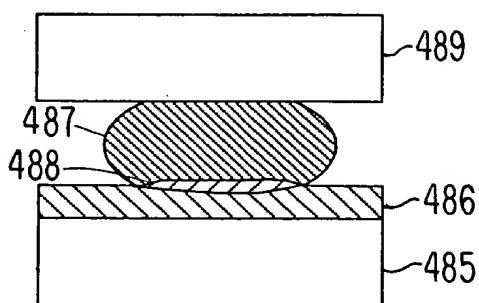


FIG. 30(c)